

LABORATORIO DE ENSAYO DE MATERIALES
INFORME DE ENSAYO N°543-25 SU22

CLIENTE : Mariela Isabel Román Zapata / Mirella Melanie Velásquez Palomino
DIRECCIÓN ** : marielarz470@gmail.com / mirella.velasquez@urp.edu.pe

CÓDIGO : F-LEM-P-SU-22.02
RECEPCIÓN N° : 1507-25

PROYECTO ** : Evaluación geotécnica de la estabilidad del talud con relación al nivel freático y su impacto de la de la transitabilidad vial del tramo Huarochirí- Sangallaya


F.EMISIÓN : 2025-11-03

UBICACIÓN ** : Huarochirí - Sangallaya
** Datos proporcionados por el cliente

DATOS DE LA MUESTRA																																																														
CANTERA/SONDAJE** : C-1		CÓDIGO DE LA MUESTRA : 2523-SU-25																																																												
N° MUESTRA ** : M-1		FECHA DE RECEPCIÓN : 2025-10-29																																																												
TIPO DE MUESTRA ** : SUELO		FECHA DE EJECUCIÓN : 2025-10-30																																																												
LUGAR DE ENSAYO : LABORATORIO DE ENSAYOS DE MATERIALES																																																														
<table><tr><th colspan="2">Tamiz</th><th rowspan="2">% que Pasa</th></tr><tr><th>in.</th><th>mm.</th></tr><tr><td>No.4</td><td>4,75</td><td>84,0</td></tr><tr><td>No.10</td><td>2,00</td><td>74,8</td></tr><tr><td>No.40</td><td>0,425</td><td>42,7</td></tr><tr><td>No. 200</td><td>0,075</td><td>20,0</td></tr></table>			Tamiz		% que Pasa	in.	mm.	No.4	4,75	84,0	No.10	2,00	74,8	No.40	0,425	42,7	No. 200	0,075	20,0	<table><tr><th colspan="4">Distribución granulometrica</th></tr><tr><td colspan="2">% BOLONES</td><td colspan="2"></td></tr><tr><td colspan="2">% BLOQUES</td><td colspan="2"></td></tr><tr><td rowspan="2">% GRAVA</td><td rowspan="2">16,0</td><td>Gruesa</td><td>6,2</td></tr><tr><td>Fina</td><td>9,7</td></tr><tr><td rowspan="3">% ARENA</td><td rowspan="3">64,0</td><td>Gruesa</td><td>9,2</td></tr><tr><td>Media</td><td>41,1</td></tr><tr><td>Fina</td><td>13,7</td></tr><tr><td>% FINO</td><td>20,0</td><td></td><td>20,0</td></tr><tr><td colspan="2">LL</td><td colspan="2">28</td></tr><tr><td colspan="2">LP</td><td colspan="2">19</td></tr><tr><td colspan="2">IP</td><td colspan="2">9</td></tr></table>	Distribución granulometrica				% BOLONES				% BLOQUES				% GRAVA	16,0	Gruesa	6,2	Fina	9,7	% ARENA	64,0	Gruesa	9,2	Media	41,1	Fina	13,7	% FINO	20,0		20,0	LL		28		LP		19		IP		9	
Tamiz		% que Pasa																																																												
in.	mm.																																																													
No.4	4,75	84,0																																																												
No.10	2,00	74,8																																																												
No.40	0,425	42,7																																																												
No. 200	0,075	20,0																																																												
Distribución granulometrica																																																														
% BOLONES																																																														
% BLOQUES																																																														
% GRAVA	16,0	Gruesa	6,2																																																											
		Fina	9,7																																																											
% ARENA	64,0	Gruesa	9,2																																																											
		Media	41,1																																																											
		Fina	13,7																																																											
% FINO	20,0		20,0																																																											
LL		28																																																												
LP		19																																																												
IP		9																																																												
<table><tr><td>D10</td><td>0,042</td></tr><tr><td>D30</td><td>0,2</td></tr><tr><td>D60</td><td>1,0</td></tr><tr><td>Cu</td><td>24,3</td></tr><tr><td>Cc</td><td>0,8</td></tr></table>			D10	0,042	D30	0,2	D60	1,0	Cu	24,3	Cc	0,8																																																		
D10	0,042																																																													
D30	0,2																																																													
D60	1,0																																																													
Cu	24,3																																																													
Cc	0,8																																																													
Standard Practice for Classification of Soils for Engineering Purposes (Unified Soil Classification System) D2487-17 (Reapproved 2025)																																																														
<table><tr><th colspan="2">SISTEMA UNIFICADO CLASIFICACIÓN SUCS</th></tr><tr><td>Simbolo de Grupo</td><td>SC</td></tr><tr><td>Denominación de Grupo</td><td>Arena arcillosa con grava</td></tr></table>				SISTEMA UNIFICADO CLASIFICACIÓN SUCS		Simbolo de Grupo	SC	Denominación de Grupo	Arena arcillosa con grava																																																					
SISTEMA UNIFICADO CLASIFICACIÓN SUCS																																																														
Simbolo de Grupo	SC																																																													
Denominación de Grupo	Arena arcillosa con grava																																																													
Standard Practice for Classification of Soils and Soil-Aggregate Mixtures for Highway Construction Purposes D3282-24																																																														
<table><tr><th colspan="2">SISTEMA DE CLASIFICACION AASHTO</th></tr><tr><td>Clasificación AASHTO</td><td>A-2-4 (0)</td></tr></table>				SISTEMA DE CLASIFICACION AASHTO		Clasificación AASHTO	A-2-4 (0)																																																							
SISTEMA DE CLASIFICACION AASHTO																																																														
Clasificación AASHTO	A-2-4 (0)																																																													

Ensayos de referencia:

La distribución granulometrica corresponde al Informe de ensayo N°598-25 SU24
El límite de Atterberg corresponde al Informe de ensayo N°661-25 SU23


IRMA COAQUIRA LAYME
Ingeniero Civil CIP 121204
Laboratorio Geofal S.A.C.

